

- N, et al. Validation and refinement of scores to predict very early stroke risk after transient ischaemic attack [J]. *Lancet*, 2007, 369(9558):283-292.
- [11] 陈鑫,刘玉品,蔡军,等.短暂性脑缺血发作患者 320 排 CT 全脑灌注成像及其与 ABCD2 评分相关性的研究[J]. *中国临床医生杂志*, 2018, 46(8):929-932.
- [12] 蒋孝宗,马兰,张守成,等.弥散加权成像联合 ABCD2 评分对短暂性脑缺血发作患者 90 d 内卒中的预测价值研究[J]. *实用心脑血管病杂志*, 2020, 28(2):48-52.
- [13] PURROY F, JIMÉNEZCABALLERO P E, GOROSPE A, et al. Prediction of early stroke recurrence in transient ischemic attack patients from the PROMAPA study: A comparison of prognostic risk scores [J]. *Cerebrovasc Dis*, 2012, 33 (2): 182-189.
- [14] FOSCHI M, PAVOLUCCI L, RONDELLI F, et al. Prospective observational cohort study of early recurrent TIA: Features, frequency, and outcome [J]. *Neurology*, 2020, 95 (12):e1733-e1744.

Ultrasonic findings of eyelid chondroid syringoma: Case report 眼睑软骨样汗管瘤超声表现 1 例

杨珊燕¹, 李慎义², 周 永^{1*}

[1. 长沙市第三医院超声诊断科, 湖南 长沙 410015; 2. 湖南省人民医院(湖南师范大学附属第一医院) 超声医学科, 湖南 长沙 410005]

[**Keywords**] eyelid neoplasms; chondroid syringoma; ultrasonography [**关键词**] 眼睑肿瘤; 软骨样汗管瘤; 超声检查
DOI:10.13929/j.issn.1003-3289.2022.06.010

[**中图分类号**] R739.7; R445.1 [**文献标识码**] B [**文章编号**] 1003-3289(2022)06-0836-01

患者男, 50 岁, 左上眼睑肿物 2 年余, 近期有增大趋势, 无明显伴随症状; 既往体健。查体: 左上眼睑颞上方触及 10 mm × 12 mm 结节, 质稍硬, 边界尚清, 其颞下方边界与

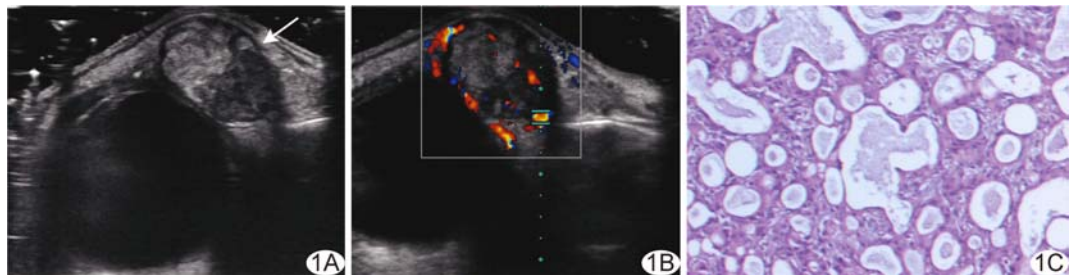


图 1 左上眼睑软骨样汗管瘤 A、B 分别为二维声像图(箭示病灶)及 CDFI; C. 病理图(HE, ×100)

周围组织粘连紧密, 活动度尚可, 无明显压痛, 表面皮肤无破溃; 右眼视力 0.8, 左眼 1.0, 双眼球各方向运动无明显受限, 左眼颞侧球结膜稍充血, 角膜透明, 前房中深, 房水清。眼部超声: 左上眼睑真皮下见 16 mm × 10 mm × 14 mm 混合回声结节, 边界清, 内部回声不均匀, 其鼻侧部分呈高回声、颞侧部分呈低回声, 后方回声增强(图 1A); CDFI 示肿物内部及周边血流信号丰富(图 1B), 频谱多普勒见低速低阻型动脉频谱; 超声诊断: 左上眼睑实性肿物, 考虑皮肤混合瘤, 不排除毛母质瘤。于局麻下行左上眼睑肿物切除术+任意皮瓣成形术, 术中见肿物基底深达眼睑肌层, 有包膜, 与泪腺无粘连。术后病理: 光镜下见肿瘤部分区域细胞增生活跃, 上皮成分呈巢状、条索状、管状结构及囊腔分化结构, 内见脂肪细胞, 间质内见明显黏液样基质及大片软骨样间质(图 1C)。病理诊断: (左上眼睑) 软骨

样汗管瘤(chondroid syringoma, CS)。

讨论 CS 为获得性的向皮脂腺、外泌汗腺、毛囊分化的错构瘤, 呈软骨样外观; 主要表现为真皮内或皮下缓慢生长、边界清晰的单发结节, 多无明显症状, 好发于鼻部、颊部、上唇和头皮等处, 少见发生于眼睑者。皮肤 CS 又称皮肤混合瘤, 主要由上皮和间质构成, 以皮脂腺、小汗腺、大汗腺、毛发等多种细胞构成上皮性结构, 软骨样基质、纤维性基质或黏液性基质组成间质成分; 其超声表现与肿瘤上皮与间质成分的比例及分布有关。本例 CS 位于左上眼睑颞侧, 超声表现为边界清晰、有包膜的实性混合回声结节, 内部高、低回声区分界明显, 可能与上皮成分、黏液样基质及脂肪细胞聚集分布有关。鉴别诊断包括表皮样囊肿、毛母质瘤及皮肤纤维组织细胞瘤等。确诊需赖病理学检查。

[**基金项目**] 长沙市第三医院优秀青年医学人才培养基金(2019-QN-* * -10)。

[**第一作者**] 杨珊燕(1988—), 女, 湖南永州人, 本科, 主治医师。E-mail: 303143843@qq.com

[**通信作者**] 周永, 长沙市第三医院超声诊断科, 410015。E-mail: 110102563@qq.com

[**收稿日期**] 2021-12-15 [**修回日期**] 2022-04-12